

II-268 クノイド波理論第1次近似解の数値計算法とその応用

横濱国立大学工学部 正員 磯部 雅彦

1. 緒言: クノイド波理論第1次近似解は浅海条件において有限振幅性の影響を含めた理論であるため、これによってある速度の精度で沿岸波の波を記述することができる。この解の中には橋円積分や橋円関数が含まれるが、このためにストークス波と比べると若干数値計算が面倒に見える。しかし、橋円関数などの数値計算のプログラムを利用されていいる1-Mによる級数展開法は極めて収束が速いため、実際の計算時間はわずかで済む。本論文ではこの点に着目し、クノイド波理論の第1次近似解と橋円積分・橋円関数の級数展開形とを組み合わせて簡単で精度の高い数値計算法を紹介するとともに、その応用例について述べる。なお、ここでの手法は高次の解の数値計算にも用いることができる。

2. 橋円積分と橋円関数の級数展開形: クノイド波理論が用いられるのは浅海条件の場合であり、橋円関数の母数 k について $k^2 > 1/2$ と考えてよい。この場合、補1-M \bar{g} ($< e^{-\pi} = 0.043 \dots$) による橋円積分や橋円関数のべき級数の収束が速い。有効数字7桁まで得られる範囲でこれを示せば (Abramowitz・Stegun, 1972)、

$$k = (T_{02}/T_{03})^2, \quad \bar{k} = 4\sqrt{\bar{g}} (T_{04}/T_{03})^2, \quad K = (T_{03})^2 (-\ln \bar{g})/2, \quad E = [1 - \{S - (T_{03})^4\}(-\ln \bar{g})/2]/(T_{03})^2$$

$$cn(\theta; k) = (T_{04}/T_{02})(T_2(\bar{\theta})/T_4(\bar{\theta})), \quad sn(\theta; k) = (T_{03}/T_{02})(T_1(\bar{\theta})/T_4(\bar{\theta})), \quad dn(\theta; k) = (T_{04}/T_{03})(T_3(\bar{\theta})/T_4(\bar{\theta}))$$

$$\bar{\theta} = \theta/(T_{03})^2 \quad (| \theta | \leq K)$$

$$T_1(\bar{\theta}) = \sinh \bar{\theta} - \bar{g}^2 \sinh 3\bar{\theta} + \bar{g}^6 \sinh 5\bar{\theta} - \dots, \quad T_2(\bar{\theta}) = 1 - 2\bar{g} \cosh 2\bar{\theta} + 2\bar{g}^4 \cosh 4\bar{\theta} - \dots$$

$$T_3(\bar{\theta}) = 1 + 2\bar{g} \cosh 2\bar{\theta} + 2\bar{g}^4 \cosh 4\bar{\theta} + \dots, \quad T_4(\bar{\theta}) = \cosh \bar{\theta} + \bar{g}^2 \cosh 3\bar{\theta} + \bar{g}^6 \cosh 5\bar{\theta} + \dots$$

$$T_{02} \equiv T_2(0) = 1 - 2\bar{g} + 2\bar{g}^4 - \dots, \quad T_{03} \equiv T_3(0) = 1 + 2\bar{g} + 2\bar{g}^4 + \dots$$

$$T_{04} \equiv T_4(0) = 1 + \bar{g}^2 + \bar{g}^6 + \dots, \quad S = 1 + 8\bar{g}^2 - 8\bar{g}^4 + \dots$$

となる。ここに、 k は母数、 T_{ij} は補母数、 K と E は第1種と第2種の完全橋円積分、 $cn \cdot sn \cdot dn$ (ヤコビの橋円関数) である。 $| \theta | > K$ の場合の橋円関数の計算には、 m を整数として、次の式を利用すればよい。

$$cn(\theta + 2mK; k) = (-1)^m cn(\theta; k), \quad sn(\theta + 2mK; k) = (-1)^m sn(\theta; k), \quad dn(\theta + 2mK; k) = dn(\theta; k)$$

3. クノイド波の解: クノイド波理論第1次近似解は以下のように表わされる。

$$\eta = H \{ cn^2(\theta; k) - \bar{cn}^2 \}, \quad u = \sqrt{g/R} \eta', \quad w = \sqrt{g/R} H \frac{4KR}{L} \frac{\bar{h}+z}{R} cn(\theta; k) sn(\theta; k) dn(\theta; k)$$

$$\beta = 98(\eta-z), \quad \theta = 2K(x/L - t/T)$$

ここに、 η は平均水面を基準とする水面変動、 u は水平流速、 w は鉛直流速、 β は正力、 H は波高、 R は平均水深、 L は波長、 T は周期、 x は水平座標、 z は平均水面を基準とする鉛直座標、 \bar{g} は重力、 ρ は密度、 \bar{h} は重力加速度であり、 \bar{cn}^2 は cn^2 の一周期平均値を表す。水深・周期・波高が与えられれば、波長 L ・母数 k は次式で与えられる。

$$L = \sqrt{gR} T, \quad L_s = gHT^2/\rho^2 = 16k^2K^2/3$$

4. 級数を用いた諸量の表示: クノイド波の解に関する諸量を、母数 k のかわりに補1-M \bar{g} を使って級数表示するには、2. で挙げた展開式を利用すればよい。まず、水深・周期・波高から \bar{g} を求めると次の式には

$$(-\ln \bar{g}) = \sqrt{3U_s/4} / (T_{02})^2$$

となる。 \bar{g} の初期値を 0 として再代入法を使っても上式の収束は速い。 \bar{g} が決定されれば、橋円積分や橋円関数の計算は 2. を利用すれば容易であり、従って 3. に挙げた水面変動などの諸量を計算するのも容易である。さらに、重要な平均量である波のエネルギー E_w 、エネルギー・フラックス F 、ラディエーションストレス S_{xx} 、 S_{yy} 、相対波高 η/H 、skewness $\sqrt{\beta_1}$ 、kurtosis β_2 に対して級数表示を求めると次のようになる (Isobe, 1985)。

$$E_w = 98H^2 f_2, \quad F = 8gH^2 \sqrt{gR} f_2, \quad S_{xx} = \frac{3}{2} 8gH^2 f_2, \quad S_{yy} = \frac{1}{2} 8gH^2 f_2$$

$$\begin{aligned} \beta_0/H &= 1 - f_1, \quad \sqrt{\beta_1} = f_3/(f_2)^{\frac{3}{2}}, \quad \beta_2 = f_4/(f_2)^2 \\ f_1 &= \mu - \lambda, \quad f_2 = -\mu^2 + \frac{2}{3}(1+2\lambda)\mu - \frac{1}{3}(1+\lambda), \quad f_3 = 2\mu^3 - 2(1+2\lambda)\mu^2 + \frac{2}{15}(4+19\lambda+19\lambda^2)\mu - \frac{4}{15}\lambda(1+\lambda)(1+2\lambda) \\ f_4 &= -3\mu^4 + 4(1+2\lambda)\mu^3 + \frac{2}{5}(-16-61\lambda-61\lambda^2)\mu^2 + \frac{8}{105}(6+37\lambda+75\lambda^2+50\lambda^3)\mu + \frac{2}{105}(-24-95\lambda-142\lambda^2-71\lambda^3) \\ \lambda &\equiv k^2/k^2 = 16\bar{g}/(T_{04}/T_{02})^4, \quad \mu \equiv E/k^2 K = [\{2/(-\ln \bar{g})\} - S + (T_{03})^4]/(T_{02})^4 \end{aligned}$$

5. アーセル数が大きい場合の近似式：アーセル数 U_s が大きい場合、級数にありて $\bar{g} \approx 0$ とおいて式を整理すれば、この場合、 $(-\ln \bar{g})$ を求めるために式より λ と μ は、

$$(-\ln \bar{g}) = \sqrt{3U_s/4}, \quad \lambda = 0, \quad \mu = 2/(-\ln \bar{g}) = 4/\sqrt{3U_s}$$

となるので、4. に挙げた平均諸量はアーセル数の関数として explicit に表示される。

6. 応用例：浅水変形について考える。エネルギー-フラックス H が一定であることより、水深変化に伴う波高変化が求められる。特に、アーセル数が大きい場合について整理すると $H R_b^{5/2} (\sqrt{U_s} - 2\sqrt{3}) = \text{const.}$ となるが、これは首藤（1974）の結果と一致する。

海岸線からの浅水変形を考える場合に、近似度から考えてクノイド波理論第1次近似解に微小振幅波理論を接続すると、滑らかでないが連続的な波高変化が得られる（Isobe, 1985）。ここでは滑らかに接続するために、 $H = E_w C_g = \text{const.}$ における群速度 C_g に微小振幅波理論によるものを使い、エネルギー E_w を求め、 E_w から波高 H に換算するのにクノイド波理論第1次近似解による $H = \sqrt{E_w/8g f_2}$ を使うことにする。図-1は計算結果を示すが、首藤（1974）の結果とほぼ一致する。また、合田（1970）による碎波指標のうち、 R_b/L_0 と H_b/R_b の関係を用いて碎波点を決定した場合に得られる碎波水深を、碎波水深を与える碎波指標と比較したもののが図-2である。微小振幅波のみを用いた場合には碎波水深が実際よりもかなり小さくなってしまうのに対し、この手法ではかなりよく一致することがわかる。

7. 結論：碎波点付近などにおいてクノイド波理論第1次近似解の精度は必ずしも十分ではない。しかし、有限振幅性の影響をある程度含んでるために、微小振幅波理論を用いるのに比較するとかなり精度が向上する場合が多い。ここ述べた諸表示式は、海岸線における有限振幅波に対する簡便な補正式として役立つものと思われる。

参考文献：合田良実（1970）：碎波指標の整理について、工博論文報告集、第180号、pp. 39-49.

首藤伸夫（1974）：非規則長波の変形—水路幅、水深の変化する場合—、第21回国際講義文集、pp. 57-63.

Abramowitz, M. and I. A. Stegun (1972): Handbook of Mathematical Functions, §16, 17, Dover, 1046p.

Isobe, M. (1985): Calculation and application of first-order cnoidal wave theory, Coast Eng., Vol. 9, pp. 309-325.

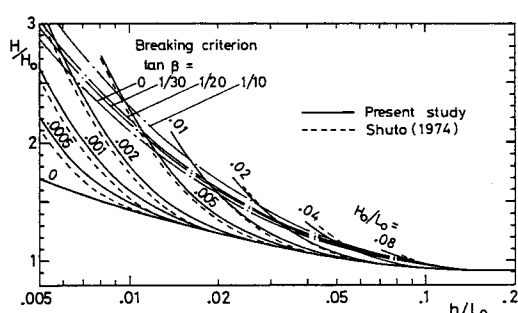


図-1 浅水係数の比較

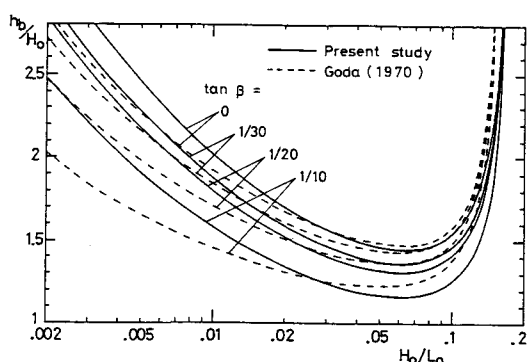


図-2 碎波水深の比較